

IIR Filter design

- 1
- 2 Analog Filters
- 3 Projektowanie filtrów cyfrowych Butterwortha i Czebyszewa
- 4 Projekt filtru dolnoprzepustowego
- 5 Reakcja filtru Butterworth na częstotliwości odcięcia
- 6 Analiza filtrów Butterwortha w Mathematica
- 7 Analiza względem wszystkich parametrów
- 8 Zależność błędu od rzędu filtra
- 9 Nyquist Ploty analogowych
- 10 Bode plots
- 11 Inna ilość bitów
- 12 Analiza współczynników filtrów
- 13 Filtry cyfrowe
- 14 Badanie stabilności filtrów cyfrowych (6 bit)

14.1 Ustalenie postaci filtrów cyfrowych

Poniżej znajdują się definicje filtrów analogowych i ich cyfrowych odpowiedników w postaci tabel dla rzędu $N=\{1,2,\dots,7\}$ oraz częstotści $\omega=\{\omega_{\min}, \omega_{\max}, \Delta\omega\}$

14.1.1 Definicje

$\Delta\omega = 0.3;$
 $\omega_{\min} = 0.1;$
 $\omega_{\max} = 2.0;$

14.1.2 Butterworth

```

bmodels = Table[TransferFunctionFactor@ButterworthFilterModel[{"Lowpass" , n,  $\omega$ }, s],
  {n, 1, 7, 1}, { $\omega$ ,  $\omega_{\min}$ ,  $\omega_{\max}$ ,  $\Delta\omega$ }}];
DGbmodels =
  Table[TransferFunctionFactor@
    ToDiscreteTimeModel[ButterworthFilterModel[{"Lowpass" , n,  $\omega$ }, s], 1], {n, 1, 7, 1},
    { $\omega$ ,  $\omega_{\min}$ ,  $\omega_{\max}$ ,  $\Delta\omega$ }}];

```

14.1.3 Chebyshev 1

```

c1models = Table[TransferFunctionFactor@Chebyshev1FilterModel[{"Lowpass" , n,  $\omega$ }, s],
  {n, 1, 7, 1}, { $\omega$ ,  $\omega_{\min}$ ,  $\omega_{\max}$ ,  $\Delta\omega$ }}];
DGc1models =
  Table[TransferFunctionFactor@ToDiscreteTimeModel[Chebyshev1FilterModel[{"Lowpass" , n,  $\omega$ }, s],
    1], {n, 1, 7, 1}, { $\omega$ ,  $\omega_{\min}$ ,  $\omega_{\max}$ ,  $\Delta\omega$ }}];

```

14.1.4 Chebyshev 2

```

c2models = Table[TransferFunctionFactor@Chebyshev2FilterModel[{n,  $\omega$ }, s], {n, 1, 7, 1},
  { $\omega$ ,  $\omega_{\min}$ ,  $\omega_{\max}$ ,  $\Delta\omega$ }}];
DGc2models =
  Table[TransferFunctionFactor@ToDiscreteTimeModel[Chebyshev2FilterModel[{n,  $\omega$ }, s], 1],
    {n, 1, 7, 1}, { $\omega$ ,  $\omega_{\min}$ ,  $\omega_{\max}$ ,  $\Delta\omega$ }}];

```

14.1.5 Elliptic

```

emodels = Table[TransferFunctionFactor@EllipticFilterModel[{n,  $\omega$ }, s], {n, 1, 7, 1},
  { $\omega$ ,  $\omega_{\min}$ ,  $\omega_{\max}$ ,  $\Delta\omega$ }}];
DGemodels = Table[TransferFunctionFactor@ToDiscreteTimeModel[EllipticFilterModel[{n,  $\omega$ }, s], 1],
  {n, 1, 7, 1}, { $\omega$ ,  $\omega_{\min}$ ,  $\omega_{\max}$ ,  $\Delta\omega$ }}];

```

14.2 Dyskretyzacja na poziomie zer i biegunów

14.2.1 Wstęp

Na początek przedstawiam sposób w jaki dyskretyzowałem dotychczas, tj. mając filtr cyfrowy w postaci

$\frac{a_0(z - a_1)}{(z - b_1)(z - b_2)}$ dyskretyzowałem liczby a_1 , b_1 , b_2 .

Okazuje się, że nie jest najlepszy sposób dyskretyzacji by sprawdzić rzeczywiste efekty tego procesu.

Lepszy sposób prezentowany w kolejnym paragrafie, polega na dyskretyzacji końcowych współczynników

filtru, a więc współczynników c_0 , c_1 , d_0 , d_1 , d_2 filtru $\frac{c_0 + c_1 z}{d_0 + d_1 z + d_2 z^2}$ będącego wymnożoną postacią

wyżej przedstawionego filtru.

14.2.2 Definicje

14.2.3 Testy

14.2.4 Dyskretyzacja

14.2.5 Porównanie położenia biegunów

14.3 Dyskretyzacja na poziomie współczynników

14.4 Dyskusja

Przy dyskretyzacji biegunów koniecznym zabiegiem okazało się nie dyskretyzowanie współczynnika stojącego przed całością filtra, gdyż przy niskich częstotliwościach i wysokich rzędach filtrów stawał się on bardzo mały, a po dyskretyzacji $= 0$. Przy tych założeniach większość filtrów okazała się stabilna przy dyskretyzacji za pomocą 6 bitów.

Okazuje się jednak, że dyskretyzacja na poziomie biegunów prowadzi do obniżenia rzędu filtra w przypadku filtrów eliptycznych (tj. zera i bieguny znajdujące się blisko siebie zaczynają wzajemnie się skracać)

Dyskretyzacja współczynników ma bardzo podobny problem widoczny przy niskich częstotliwościach filtru Butterwortha i Chebysheva 1, z powodu znikającego licznika znika cały filtr.

Ponadto widać, iż filtry eliptyczne powyżej 3 rzędu robią się bardzo niestabilne (niektóre nie są zaznaczone na czerwono bo filtr znikł z powodów wspomnianych wyżej)

W świetle tych wyników oraz faktu, iż na urządzeniu będziemy dyskretyzować współczynniki, a nie bieguny, proponuję zastosować dyskretyzację zer i biegunów z osobna, tak by zapobiec zerowaniu się licznika.

Wykonane w celu sprawdzenia tej propozycji symulacje przedstawiam poniżej.

14.5 Dyskretyzacja na poziomie współczynników zer i biegunów z osobna

15 Podsumowanie

Wbrew pozorom podzielenie procesu dyskretyzacji na współczynniki licznika i mianownika nie przyniosło wielkich zmian - filtry który znikają, stały się po prostu niestabilne.

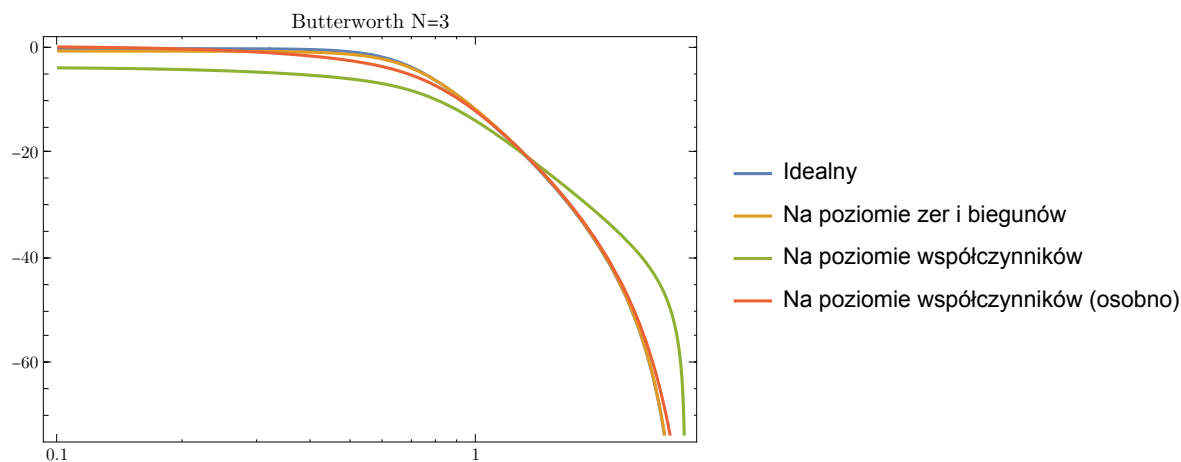
Używając Bode Plot (ilustrujący kwadrat amplitudy (dB) w zależności od ω) można zademonstrować, że lepsze odwzorowanie filtra zależy właśnie od przyjętej strategii dyskretyzacji współczynników.

Poniżej znajdują się przykładowe Bode Ploty dla filtrów Butterwortha trzeciego rzędu i częstotliwości równej 1.

```

BodePlot[{DGBmodels[[3, 3]][ $e^{j\omega}$ ], DGBmodelsD[[3, 3]] /. {z ->  $e^{j\omega}$ },
  DGBmodelsDc[[3, 3]] /. {z ->  $e^{j\omega}$ }, DGBmodelsDc2[[3, 3]] /. {z ->  $e^{j\omega}$ }}, { $\omega$ , 0.1,  $\pi$ },
PlotLayout -> "Magnitude",
PlotLegends -> {"Idealny", "Na poziomie zer i biegunów", "Na poziomie współczynników",
  "Na poziomie współczynników (osobno)"}, PlotLabel -> "Butterworth N=3"]

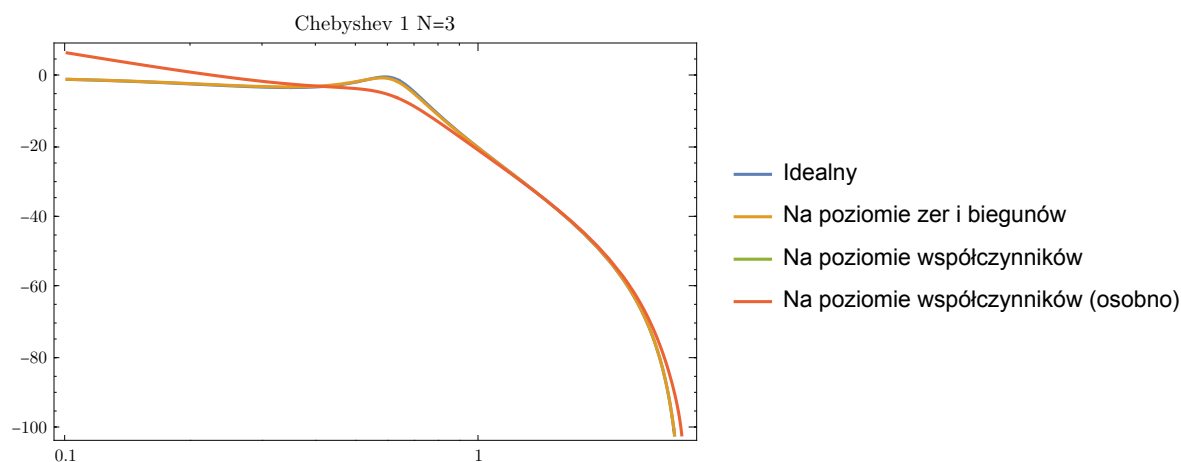
```



```

BodePlot[{DGC1models[[3, 3]][ $e^{j\omega}$ ], DGC1modelsD[[3, 3]] /. {z ->  $e^{j\omega}$ },
  DGC1modelsDc[[3, 3]] /. {z ->  $e^{j\omega}$ }, DGC1modelsDc2[[3, 3]] /. {z ->  $e^{j\omega}$ }}, { $\omega$ , 0.1,  $\pi$ },
PlotLayout -> "Magnitude",
PlotLegends -> {"Idealny", "Na poziomie zer i biegunów", "Na poziomie współczynników",
  "Na poziomie współczynników (osobno)"}, PlotLabel -> "Chebyshev 1 N=3"]

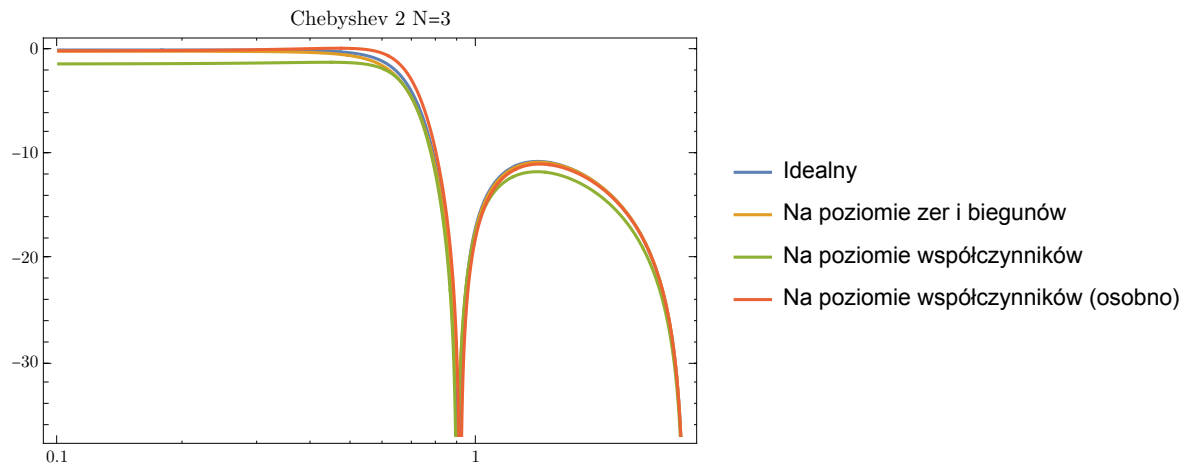
```



```

BodePlot[{DGc2models[[3, 3]][ $e^{j\omega}$ ], DGc2modelsD[[3, 3]] /. {z ->  $e^{j\omega}$ },
  DGc2modelsDc[[3, 3]] /. {z ->  $e^{j\omega}$ }, DGc2modelsDc2[[3, 3]] /. {z ->  $e^{j\omega}$ }}, { $\omega$ , 0.1,  $\pi$ },
PlotLayout -> "Magnitude",
PlotLegends -> {"Idealny", "Na poziomie zer i biegunów", "Na poziomie współczynników",
  "Na poziomie współczynników (osobno)"}, PlotLabel -> "Chebyshev 2 N=3"]

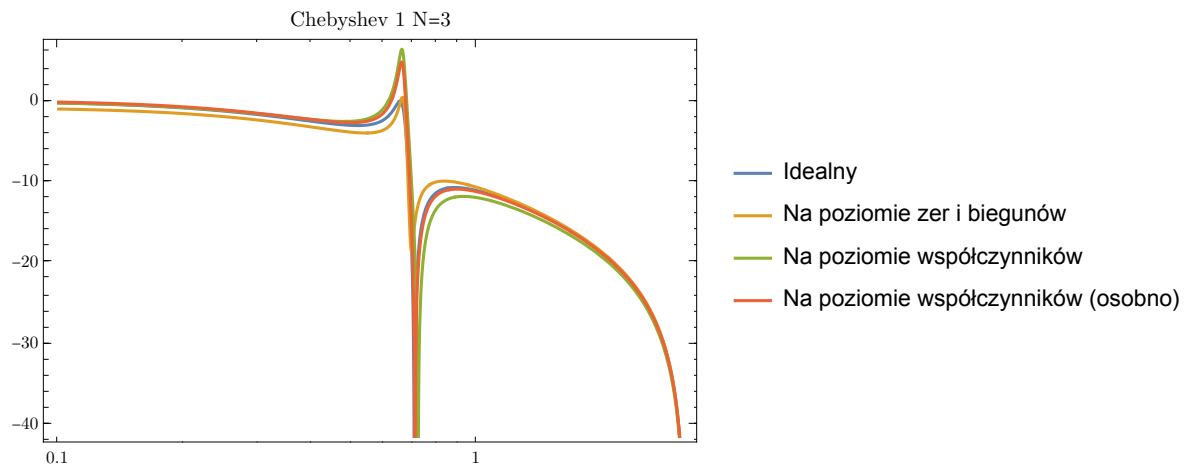
```



```

BodePlot[{DGmodels[[3, 3]][ $e^{j\omega}$ ], DGmodelsD[[3, 3]] /. {z ->  $e^{j\omega}$ },
  DGmodelsDc[[3, 3]] /. {z ->  $e^{j\omega}$ }, DGmodelsDc2[[3, 3]] /. {z ->  $e^{j\omega}$ }}, { $\omega$ , 0.1,  $\pi$ },
PlotLayout -> "Magnitude",
PlotLegends -> {"Idealny", "Na poziomie zer i biegunów", "Na poziomie współczynników",
  "Na poziomie współczynników (osobno)"}, PlotLabel -> "Chebyshev 1 N=3"]

```



Jeśli trzeba można wyrysować wszystkie tym poleceniem.

Grid@

```

MapThread[BodePlot[{#1[ $e^{j\omega}$ ], #2 /. {z ->  $e^{j\omega}$ }, #3 /. {z ->  $e^{j\omega}$ }, #4 /. {z ->  $e^{j\omega}$ }},
  { $\omega$ , 0.01,  $\pi$ }, PlotLayout -> "Magnitude"] &, {DGbmodels, DGbmodelsD, DGbmodelsDc, DGbmodelsDc2},
  2]

```

\$Aborted

Wybrana przeze mnie wcześniej procedura dyskretyzacji na poziomie zer i biegunów (dodatkowo wcześniej robiłem to na poziomie filtru analogowego), pomimo swoich pozornych zalet obciążona jest

jednak dodatkowym błędem, wynikającym z wymnożenia zdyskretyzowanych zer/biegunów którego należałoby by dokonać nie na liczbach rzeczywistych, lecz na liczbach n-bitowych.

Prawdopodobnie to dyskwalifikuje tę metodę.

Zatem mając dwóch kandydatów (na poziomie współczynników, i na poziomie współczynników - osobno zera i bieguny) do metody dyskretyzacji przeprowadzam symulacje dla wyższej liczby bitów.

- 16 Badanie stabilności filtrów cyfrowych (7 bit)
- 17 Badanie stabilności filtrów cyfrowych (8 bit)
- 18 Badanie stabilności filtrów cyfrowych (9 bit)
- 19 Badanie stabilności filtrów cyfrowych (10 bit)
- 20 Badanie stabilności filtrów cyfrowych (11 bit)
- 21 Badanie stabilności filtrów cyfrowych (12 bit)
- 22 Badanie stabilności filtrów cyfrowych (13 bit)
- 23 Badanie stabilności filtrów cyfrowych (14 bit)
- 24 Badanie stabilności filtrów cyfrowych (15 bit)
- 25 Badanie stabilności filtrów cyfrowych (16 bit)
- 26 Skompresowana wersja

Zdaje sobie sprawę z tego jak fatalnie się to czyta, zwłaszcza bez spisu treści. Dlatego postanowiłem skompresować najważniejsze wyniki dla dyskretyzacji w której współczynniki zer i biegunów są dyskretyzowane oddzielnie.

Poniżej znajduje się wizualizacja stabilności filtrów, zasada jest ta sama - w dół rośnie rząd, w prawo rośnie częstość graniczna.

A teraz mała inepcja - promień pierścienia jest związany z liczbą bitów. Środkowy okrąg jest 5 bitowy, każdy kolejny 3 bity więcej, okręgów jest 9, zatem ostatni okrąg reprezentuje $5 + 9 * 3 = 5 + 27 = 32$ bity. Kolor niebieski oznacza filtr stabilny, kolor pomarańczowy - niestabilny.

```
SP[p_] := If[Count[p, _? (Abs[#] ≥ 1 &), {1}] > 0, Lighter[Orange], LightBlue]
```

```

StableOrNot[p1_, p2_, p3_, p4_, p5_, p6_, p7_, p8_, p9_] := Graphics[{SP[p1], Disk[{0, 0}],
  EdgeForm[Directive[Dashed, Gray]], SP[p2], Disk[{0, 0}, {0.9, 0.9}],
  EdgeForm[Directive[Dashed, Gray]], SP[p3], Disk[{0, 0}, {0.8, 0.8}],
  EdgeForm[Directive[Dashed, Gray]], SP[p4], Disk[{0, 0}, {0.7, 0.7}],
  EdgeForm[Directive[Dashed, Gray]], SP[p5], Disk[{0, 0}, {0.6, 0.6}],
  EdgeForm[Directive[Dashed, Gray]], SP[p6], Disk[{0, 0}, {0.5, 0.5}],
  EdgeForm[Directive[Dashed, Gray]], SP[p6], Disk[{0, 0}, {0.4, 0.4}],
  EdgeForm[Directive[Dashed, Gray]], SP[p6], Disk[{0, 0}, {0.3, 0.3}],
  EdgeForm[Directive[Dashed, Gray]], SP[p7], Disk[{0, 0}, {0.2, 0.2}]}]

```

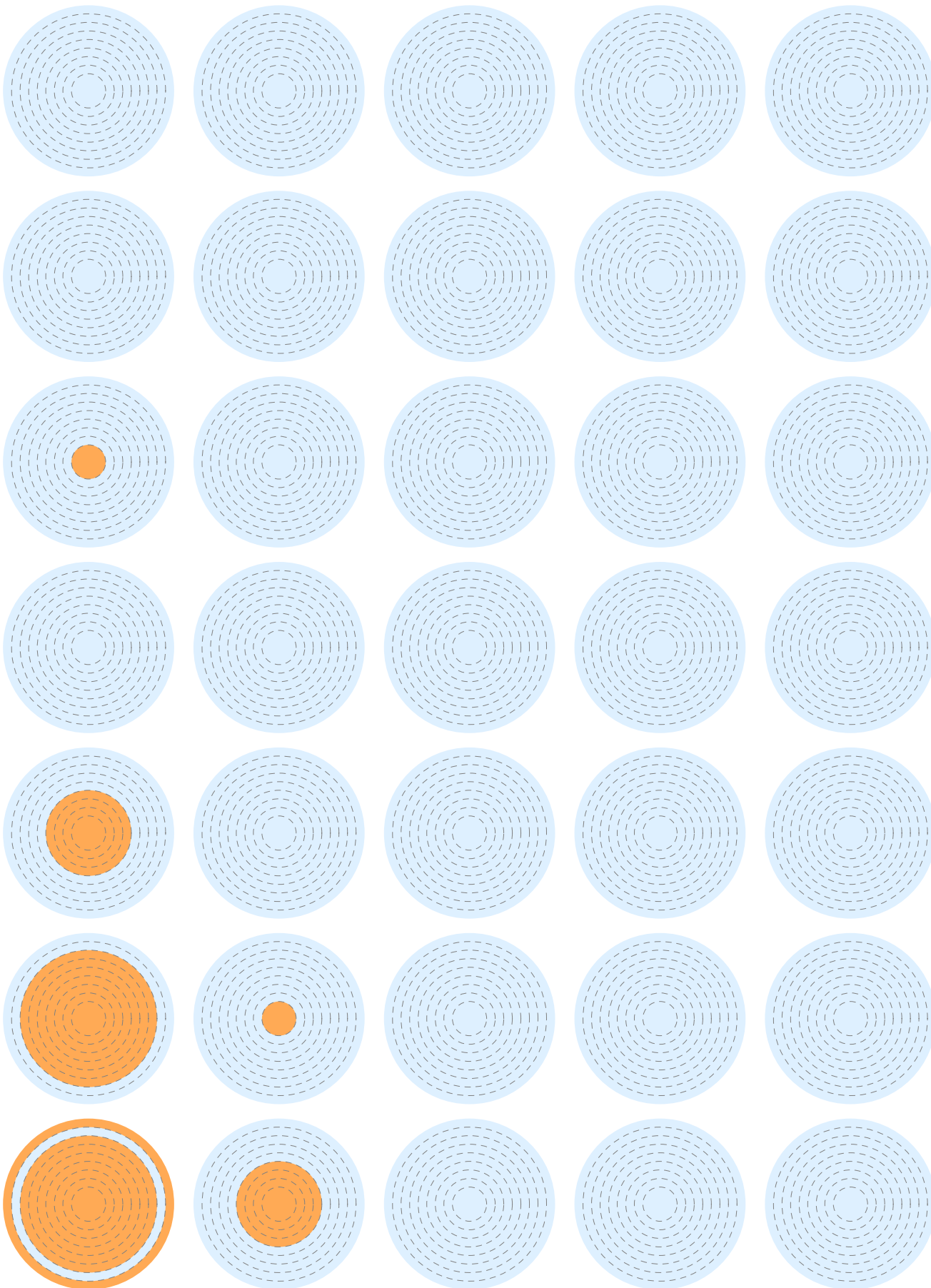
26.1 Butterworth

```

Allb = Table[Map[ExtractPoles[DiscretizeModelCoeffs2[#, bits]] &, DGbmodels, {2}],
  {bits, 5, 32, 3}];

Grid[MapThread[StableOrNot[#, #9, #8, #7, #6, #5, #4, #3, #2, #1] &, Allb, 2], ItemSize -> 10]

```



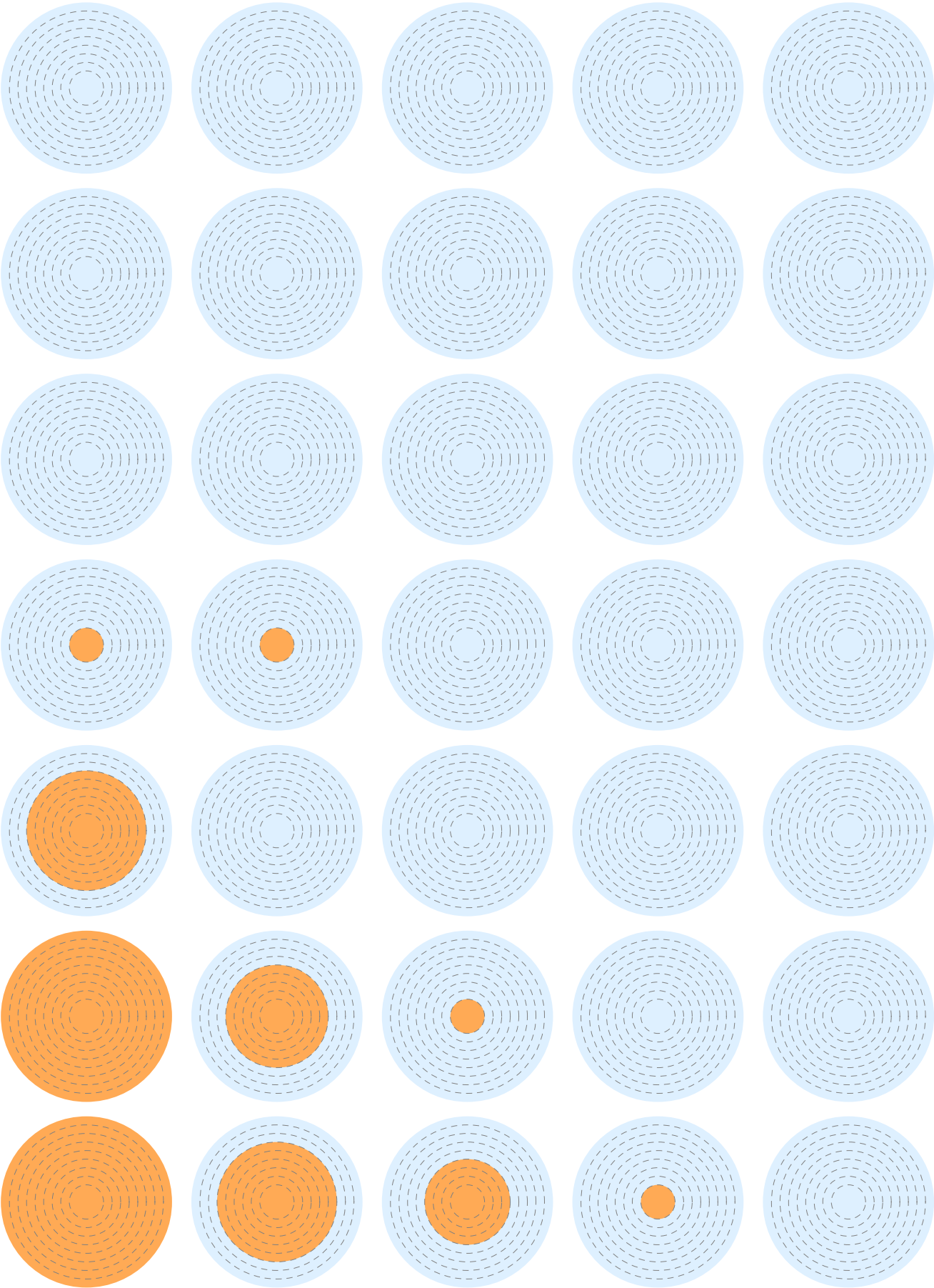
26.2 Chebyshev 1

```

Allc1 = Table[Map[ExtractPoles[DiscretizeModelCoeffs2[#, bits]] &, DGc1models, {2}],
  {bits, 5, 32, 3}];

Grid[MapThread[StableOrNot[#, #8, #7, #6, #5, #4, #3, #2, #1] &, Allc1, 2], ItemSize → 10]

```

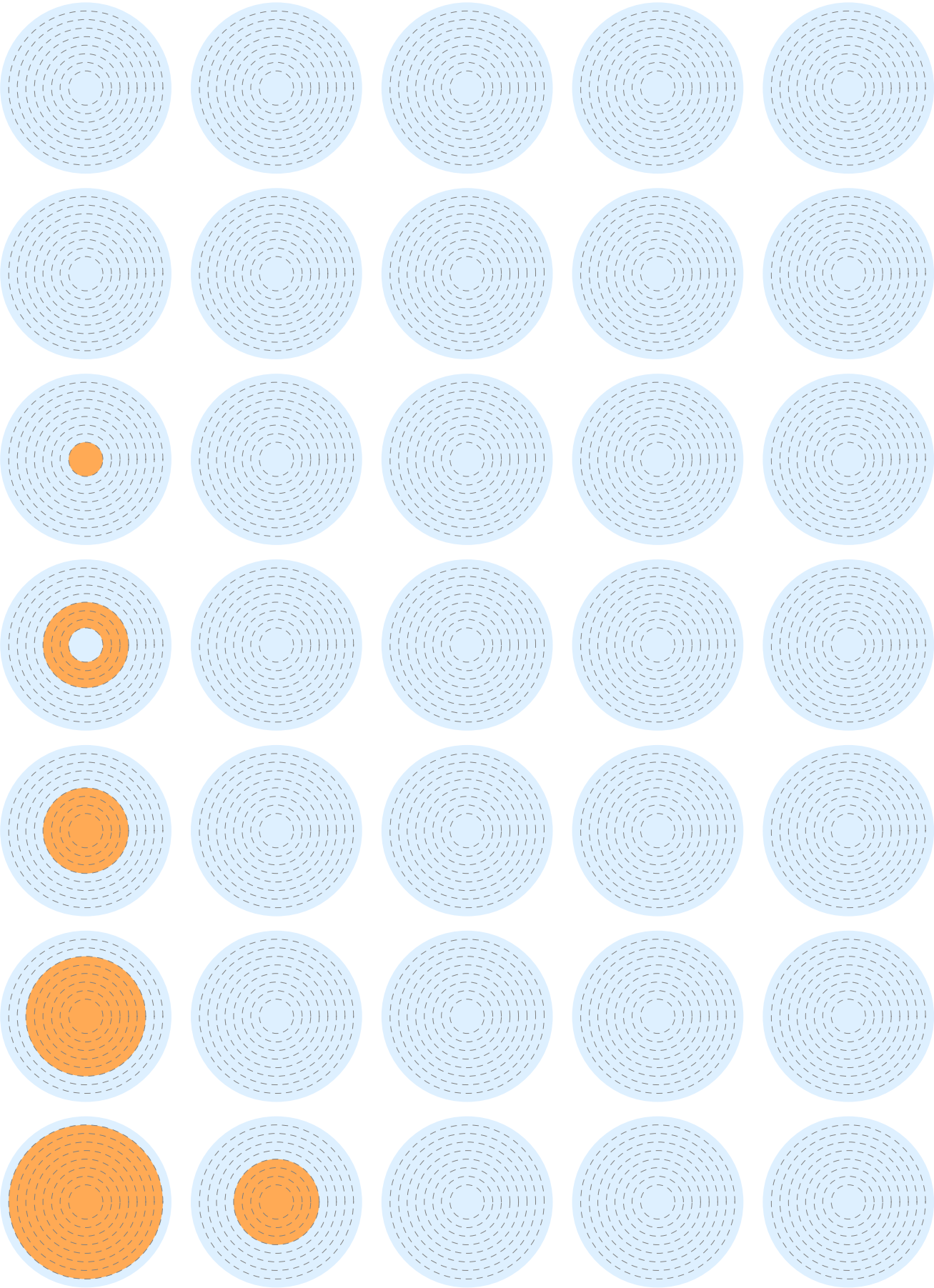


26.3 Chebyshev 2

```

Allc2 = Table[Map[ExtractPoles[DiscretizeModelCoeffs2[#, bits]] &, DGc2models, {2}],
  {bits, 5, 32, 3}];
Grid[MapThread[StableOrNot[#, #8, #7, #6, #5, #4, #3, #2, #1] &, Allc2, 2], ItemSize → 10]

```



26.4 Eliptyczny

```
Alle = Table[Map[ExtractPoles[DiscretizeModelCoeffs2[#, bits]] &, DGeModels, {2}],  
  {bits, 5, 32, 3}];  
Grid[MapThread[StableOrNot[#, #8, #7, #6, #5, #4, #3, #2, #1] &, Alle, 2], ItemSize -> 10]
```

